

УДК 532.62

## ЧИСЛЕННОЕ МОДЕЛИРОВАНИЕ МАГНИТОГИДРОДИНАМИЧЕСКОГО ТЕЧЕНИЯ НЕНЬЮТОНОВСКОЙ ЖИДКОСТИ НА НЕСТАЦИОНАРНО РАСТЯГИВАЕМОЙ ПЛАСТИНЕ С УЧЕТОМ ВЯЗКОСТНОЙ ДИССИПАЦИИ

М. Н. Туфайл<sup>\*,\*\*</sup>, А. С. Бат<sup>\*</sup>, А. Али<sup>\*,\*\*\*</sup>

\* Университет Куэд-и-Азам, 44000 Исламабад, Пакистан

\*\* Университет менеджмента и технологий, 51310 Сиялкот, Пакистан

\*\*\* Университет принца Мухаммада Бин Фахда, 31952 Эль Хобар, Саудовская Аравия  
E-mails: nazimtufail@gmail.com, adnansaeedbutt85@gmail.com, dr\_asif\_ali@hotmail.com

Проведено исследование теплопереноса в магнитогидродинамическом течении жидкости Кэссона на нестационарно растягиваемой пластине с учетом вязкостной диссипации. С использованием безразмерных переменных дифференциальные уравнения в частных производных преобразованы в обыкновенные дифференциальные уравнения, которые решаются методом гомотопического анализа. Получены зависимости характеристик течения от различных параметров уравнений.

Ключевые слова: неньютоновская жидкость, магнитогидродинамическое течение, вязкостная диссипация, теплоперенос.

DOI: 10.15372/PMTF20160518

**Введение.** Исследованию течений в пограничных слоях ньютоновской и неньютоновской жидкостей на растягиваемых поверхностях уделяется большое внимание, что обусловлено применением данных течений в производственных процессах. Течение в пограничном слое на движущейся твердой поверхности представляет собой важный тип течений, используемых при экструзии и термической обработке материалов. Исследование течений на растягиваемых пластинах было начато в работе [1], в которой получено автомодельное решение для потока вязкой жидкости в случае линейного закона растяжения поверхности. В [2] изучен тепломассоперенос в потоке жидкости, текущем через растягиваемую проницаемую пластину. Магнитогидродинамический (МГД) поток и теплоперенос в вязкой жидкости, текущей через растягиваемую пластину, проанализированы в работе [3]. В [4] изучен теплоперенос в случае степенного закона изменения температуры. Вязкостная и джоулева диссипация в МГД-потоке, а также тепломассоперенос в случае растягиваемой проницаемой поверхности, помещенной в пористую среду, рассматривались в [5]. Известно, что большинство существующих в природе жидкостей являются неньютоновскими (биожидкости, жир, покрытия из глины и ее взвеси, косметические продукты и др.). Для описания динамики неньютоновских жидкостей предложено большое количество моделей. В работе [6] исследованы течение на растягиваемой пластине и характеристики

теплопереноса в жидкости второго порядка. В [7] изучены магнитогидродинамика и теплоперенос в потоке неньютоновской жидкости на растягиваемой поверхности. В [8] рассмотрены течение и теплоперенос в электропроводящей жидкости второго порядка в пористой среде на растягиваемой поверхности при наличии поперечного магнитного поля. В работе [9] с помощью метода конечных элементов исследован пульсирующий поток неньютоновской жидкости Кэссона в пористой среде, для которой не выполняется закон фильтрации Дарси. Процесс теплопереноса в МГД-потоке жидкости, удовлетворяющей степенному закону для вязкости, на неизотермической растягиваемой поверхности изучался в [10]. В [11] решена задача об МГД-потоке и теплопереносе в неньютоновской жидкой пленке по нестационарно растягиваемой поверхности. В работе [12] с использованием метода гомотопического анализа (МГА) изучалось свободно-конвективное МГД-течение на растягиваемой пластине с учетом эффекта Холла. Трехмерный поток жидкости второго порядка во вращающемся канале с растягиваемой нижней стенкой рассмотрен в [13]. В [14] проведен анализ осесимметричного потока жидкости Сиско на радиально растягиваемой пластине. В работе [15] методом численного анализа изучались течение и теплоперенос в тонкой пленке жидкости Пауэлла — Эйринга на нестационарно растягиваемой пластине с учетом внутреннего выделения тепла. Влияние вязкоупругих свойств материала на энтропию течения на растягиваемой поверхности через пористую среду исследовано в [16]. В работе [17] проведен анализ течения в пограничном слое жидкости Сиско по растягиваемой поверхности и с использованием МГА получено аналитическое решение. В [18] рассмотрен процесс теплопереноса в микрополярной жидкости, текущей на растягиваемой пластине, с учетом подвода тепла на поверхности пластины. В [19] исследовано течение жидкости Максвелла на нестационарно растягиваемой проницаемой поверхности, находящейся в пористой среде, с учетом теплового излучения.

В настоящей работе изучаются МГД-течение и теплоперенос в потоке жидкости Кэссона на нестационарно растягиваемой пластине с учетом вязкостной диссипации.

**1. Математическое моделирование задачи.** Рассмотрим нестационарное двумерное ламинарное течение несжимаемой жидкости Кэссона на растягиваемой пластине. Жидкость Кэссона имеет предел текучести и, в случае если сдвиговые напряжения не превышают его, движется как твердое тело. Пластина расположена в плоскости  $y = 0$ , жидкость движется в верхней полуплоскости  $y > 0$ . Ось  $x$  направлена вдоль пластины, ось  $y$  — перпендикулярно ей. Вдоль оси  $y$  к обоим концам пластины приложены противоположно направленные равные силы, так чтобы поверхность растягивалась, при этом начало координат фиксировано. Параллельно оси  $y$  приложено магнитное поле с индукцией  $B_0$ . Жидкость является проводящей, магнитное число Рейнольдса мало, поэтому индуцированным магнитным полем можно пренебречь. Также предполагается, что электрическое поле отсутствует. Следуя [20], для описания жидкости будем использовать модифицированную реологическую модель Кэссона. Реологическое уравнение состояния для изотропного несжимаемого течения жидкости Кэссона имеет вид

$$\tau_{ij} = \begin{cases} 2(\mu_B + p_y/\sqrt{2\pi})e_{ij}, & \pi > \pi_c, \\ 2(\mu_B + p_y/\sqrt{2\pi_c})e_{ij}, & \pi < \pi_c, \end{cases} \quad (1)$$

где  $\pi = e_{ij}e_{ij}$ ;  $e_{ij}$  — компонента тензора скоростей деформации;  $\pi_c$  — критическое значение  $\pi$ ;  $\mu_B$  — пластическая вязкость жидкости;  $p_y$  — предел текучести. Используя (1), законы сохранения массы, количества движения и уравнение теплопереноса, получаем уравнения для пограничного слоя

$$\frac{\partial u}{\partial x} + \frac{\partial v}{\partial y} = 0,$$

$$\begin{aligned} \frac{\partial u}{\partial t} + u \frac{\partial u}{\partial x} + v \frac{\partial u}{\partial y} &= \nu \left(1 + \frac{1}{\beta}\right) \frac{\partial^2 u}{\partial y^2} - \frac{\sigma B^2(t)}{\rho} u, \\ \frac{\partial T}{\partial t} + u \frac{\partial T}{\partial x} + v \frac{\partial T}{\partial y} &= \frac{k}{\rho c_p} \frac{\partial^2 T}{\partial y^2} + \frac{\nu}{c_p} \left(1 + \frac{1}{\beta}\right) \left(\frac{\partial u}{\partial y}\right)^2 \end{aligned} \quad (2)$$

с граничными условиями

$$\begin{aligned} y = 0: \quad u(t, x, y) &= U_m(t, x), \quad v(t, x, y) = 0, \quad -k \frac{\partial T(t, x, y)}{\partial y} = h(T_f - T), \\ y \rightarrow \infty: \quad u(t, x, y) &\rightarrow 0, \quad T(t, x, y) \rightarrow 0, \end{aligned}$$

где

$$B(t) = \frac{B_0}{\sqrt{1-ct}}, \quad U_m(t, x) = \frac{ax}{1-ct}, \quad T_f(t, x) = T_\infty + \frac{ex}{1-ct},$$

$\nu = \mu/\rho$  — кинематическая вязкость;  $\mu$  — постоянная вязкость;  $\rho$  — плотность жидкости;  $\beta = \mu_B \sqrt{2\pi c}/p_y$  — параметр модели Кэссона;  $\sigma$  — электрическая проводимость жидкости;  $c_p$  — теплоемкость при постоянном давлении;  $k$  — теплопроводность;  $T, T_\infty$  — температура жидкости и окружающей среды соответственно;  $T_f$  — температура стенки;  $u, v$  — компоненты скорости вдоль осей  $x, y$  соответственно;  $a$  — параметр растяжения;  $e$  — температурный параметр;  $c$  — константа.

Вводя переменные

$$\begin{aligned} u(t, x, y) &= \frac{ax}{1-ct} f'(\eta), \quad v(t, x, y) = -\sqrt{\frac{a\nu}{1-ct}} f(\eta), \\ T(t, x, y) &= T_\infty + (T_f - T_\infty)\theta(\eta), \quad \eta = \sqrt{\frac{a}{\nu(1-ct)}} y, \end{aligned} \quad (3)$$

из системы уравнений (2) получаем

$$\left(1 + \frac{1}{\beta}\right) f''' + f f'' - f'^2 - A \left(f' + \frac{1}{2} \eta f''\right) - M f' = 0; \quad (4)$$

$$\theta'' - \text{Pr} A \left(\theta + \frac{1}{2} \eta \theta'\right) - \text{Pr} (f'\theta - f\theta') + \left(1 + \frac{1}{\beta}\right) \text{Pr} \text{Ec} f'^2 = 0. \quad (5)$$

Граничные условия для уравнений (4), (5) имеют вид

$$\begin{aligned} f(0) &= 0, \quad f'(0) = 1, \quad f'(\infty) = 0, \\ \theta'(0) &= -\gamma(1 - \theta(0)), \quad \theta(\infty) = 0. \end{aligned} \quad (6)$$

В (4)–(6)  $A = c/a$  — параметр нестационарности;  $\text{Pr} = c_p \mu/k$  — число Прандтля;  $M = \sigma B_0^2/(a\rho)$  — параметр магнитного поля;  $\text{Ec} = U_w^2/[c_p(T_f - T_\infty)]$  — число Эккерта;  $\gamma = (h/k)\sqrt{\nu(1-ct)}/a$  — число Био. Коэффициент поверхностного трения и локальное число Нуссельта определяются по формулам

$$C_f = \frac{\mu_B + p_y/\sqrt{2\pi c}}{\rho U_w^2} \left(\frac{\partial u}{\partial y}\right)\Big|_{y=0}, \quad \text{Nu}_x = \frac{x}{T_f - T_\infty} \left(\frac{\partial T}{\partial y}\right)\Big|_{y=0}. \quad (7)$$

Используя (3), (7), получаем выражения для коэффициента поверхностного трения и числа Нуссельта в безразмерном виде

$$\text{Re}_x^{1/2} C_f = -(1 + 1/\beta) f''(0), \quad \text{Re}_x^{-1/2} \text{Nu}_x = -\theta'(0).$$

**2. Решение задачи.** Для решения нелинейных уравнений (4), (5) с граничными условиями (6) используется МГА. В соответствии с постановкой задачи вводятся вспомогательные линейные операторы

$$L_f = \frac{d^3 f}{d\eta^3} - \frac{df}{d\eta}, \quad L_\theta = \frac{d^2 \theta}{d\eta^2} + \frac{d\theta}{d\eta}$$

и начальные условия для функций  $f(\eta)$  и  $\theta(\eta)$ :

$$f_0(\eta) = 1 - e^{-\eta}, \quad \theta_0(\eta) = \frac{\gamma}{\gamma + 1} e^{-\eta}.$$

Задачи о деформации нулевого порядка формулируются следующим образом:

$$\begin{aligned} (1-p)L_f[\hat{f}(\eta; p) - f_0(\eta)] &= ph_f N_f[\hat{f}(\eta; p)], \\ (1-p)L_\theta[\hat{\theta}(\eta; p) - \theta_0(\eta)] &= ph_\theta N_\theta[\hat{f}(\eta; p), \hat{\theta}(\eta; p)], \\ \hat{f}(0; p) &= 0, \quad \hat{f}'(0; p) = 1, \quad \hat{f}'(\infty; p) = 0, \\ \hat{\theta}'(0; p) &= -\gamma[1 - \hat{\theta}(0; p)], \quad \hat{\theta}(\infty; p) = 0. \end{aligned}$$

Здесь  $h_f, h_\theta$  — ненулевые вспомогательные параметры;  $p \in [0, 1]$  — внутренний параметр;  $N_f, N_\theta$  — нелинейные операторы:

$$\begin{aligned} N_f[\hat{f}(\eta; p)] &= \left(1 + \frac{1}{\beta}\right) \frac{\partial^3 \hat{f}(\eta; p)}{\partial \eta^3} + \hat{f}(\eta; p) \frac{\partial^2 \hat{f}(\eta; p)}{\partial \eta^2} - \left(\frac{\partial \hat{f}(\eta; p)}{\partial \eta}\right)^2 - \\ &\quad - M \frac{\partial \hat{f}(\eta; p)}{\partial \eta} - A \left(\frac{\partial \hat{f}(\eta; p)}{\partial \eta} + \frac{1}{2} \eta \frac{\partial^2 \hat{f}(\eta; p)}{\partial \eta^2}\right), \\ N_\theta[\hat{\theta}(\eta; p), \hat{f}(\eta; p)] &= \frac{\partial^2 \hat{\theta}(\eta; p)}{\partial \eta^2} - \text{Pr} \left(\hat{\theta}(\eta; p) \frac{\partial \hat{f}(\eta; p)}{\partial \eta} - \hat{f}(\eta; p) \frac{\partial \hat{\theta}(\eta; p)}{\partial \eta}\right) - \\ &\quad - \text{Pr} A \left(\hat{\theta}(\eta; p) + \frac{1}{2} \eta \frac{\partial \hat{\theta}(\eta; p)}{\partial \eta}\right) + \left(1 + \frac{1}{\beta}\right) \text{Pr Ec} \left(\frac{\partial^2 \hat{f}(\eta; p)}{\partial \eta^2}\right)^2. \end{aligned}$$

Задачи о деформации  $m$ -го порядка имеют вид

$$L_f[f_m(\eta) - \chi_m f_{m-1}(\eta)] = h_f R_m^f(\eta), \quad L_\theta[\theta_m(\eta) - \chi_m \theta_{m-1}(\eta)] = h_\theta R_m^\theta(\eta),$$

где

$$\begin{aligned} R_m^f(\eta) &= \left(1 + \frac{1}{\beta}\right) \frac{\partial^3 f_{m-1}}{\partial \eta^3} + \sum_{k=0}^{m-1} \left(f_{m-1-k} \frac{\partial^2 f_k}{\partial \eta^2} - \frac{\partial f_{m-1-k}}{\partial \eta} \frac{\partial f_k}{\partial \eta}\right) - \\ &\quad - A \left(\frac{\partial f_{m-1}}{\partial \eta} + \frac{1}{2} \eta \frac{\partial^2 f_{m-1}}{\partial \eta^2}\right) - M \frac{\partial f_{m-1}}{\partial \eta}, \\ R_m^\theta(\eta) &= \frac{\partial^2 \theta_{m-1}}{\partial \eta^2} + \text{Pr} \sum_{k=0}^{m-1} \left(f_{m-1-k} \frac{\partial \theta_k}{\partial \eta} - \theta_{m-1-k} \frac{\partial f_k}{\partial \eta}\right) - \\ &\quad - A \text{Pr} \left(\theta_{m-1} + \frac{1}{2} \eta \frac{\partial \theta_{m-1}}{\partial \eta}\right) + \left(1 + \frac{1}{\beta}\right) \text{Pr Ec} \sum_{k=0}^{m-1} \left(\frac{\partial^2 f_{m-1-k}}{\partial \eta^2} \frac{\partial^2 f_k}{\partial \eta^2}\right), \\ \chi_m &= \begin{cases} 0, & m \leq 1, \\ 1, & m > 1. \end{cases} \end{aligned}$$

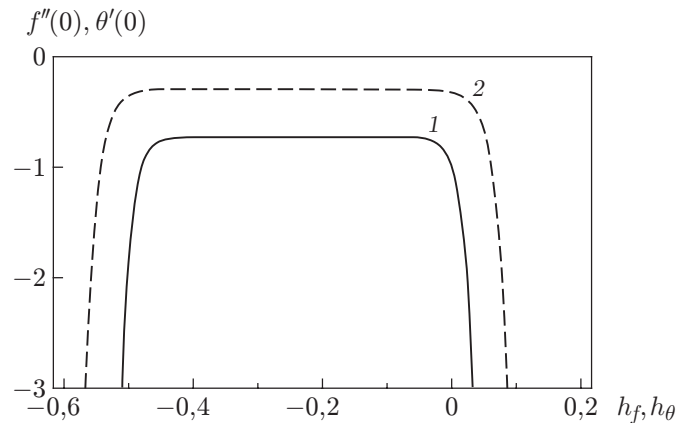


Рис. 1.  $h$ -кривые для функций  $f''(0)$  (1) и  $\theta'(0)$  (2) при  $Ec = 0,2$ ,  $Pr = 1$ ,  $\beta = 0,3$ ,  $M = 1$ ,  $A = 0,5$ ,  $\gamma = 0,5$  и порядке аппроксимации решения, равном 15

Решения уравнений (4), (5) с граничными условиями (6), полученные с помощью МГА, можно записать в виде рядов

$$f(\eta) = \sum_{m=0}^{\infty} f_m(\eta), \quad \theta(\eta) = \sum_{m=0}^{\infty} \theta_m(\eta). \quad (8)$$

Следует отметить, что ряды (8) содержат вспомогательные параметры  $h_f$  и  $h_\theta$ , обеспечивающие их сходимости. Для определения допустимых диапазонов значений  $h_f$  и  $h_\theta$  построены так называемые  $h$ -кривые 15-го порядка аппроксимации. На рис. 1 показаны  $h$ -кривые для функций  $f''(0)$ ,  $\theta'(0)$ . Видно, что допустимые значения  $h_f$  и  $h_\theta$  находятся в диапазонах  $-0,7 < h_f < 0$  и  $-0,7 < h_\theta < 0$ . Заметим, что ряд для значения  $f''(0)$  сходится с точностью до шестого знака при аппроксимации выше 12-го порядка, а ряд для значения  $\theta'(0)$  — при аппроксимации выше 30-го порядка.

**3. Обсуждение результатов.** Система обыкновенных нелинейных дифференциальных уравнений (4), (5) с граничными условиями (6) решалась численно методом Рунге — Кутты четвертого и пятого порядков с использованием метода пристрелки. На рис. 2–4 показано влияние различных параметров на скорость. На рис. 2 видно, что при  $\eta > 4,2$  с увеличением параметра нестационарности  $A$  скорость увеличивается. На рис. 3 показано влияние параметра магнитного поля  $M$  на скорость  $f'(\eta)$ . Видно, что с увеличением  $M$  скорость уменьшается. Это обусловлено тем, что при наличии внешнего магнитного поля в электропроводной жидкости возникает сила Лоренца, замедляющая движение жидкости. На рис. 4 показано влияние параметра жидкости Кэссона  $\beta$  на скорость. Видно, что с увеличением  $\beta$  скорость уменьшается. Влияние различных параметров задачи на температуру  $\theta(\eta)$  показано на рис. 5–9. Из рис. 5 следует, что с увеличением параметра нестационарности  $A$  толщина теплового пограничного слоя уменьшается. С увеличением параметра магнитного поля  $M$  температура  $\theta(\eta)$  увеличивается (см. рис. 6). Из рис. 7 следует, что с увеличением параметра жидкости Кэссона  $\beta$  температура  $\theta(\eta)$  уменьшается. Из рис. 8, 9 следует, что при увеличении числа Эккерта  $Ec$  и числа Био  $\gamma$  температура в пограничном слое  $\theta(\eta)$  увеличивается.

**4. Выводы.** В работе исследовано МГД-течение жидкости Кэссона на нестационарно растягиваемой поверхности с учетом вязкой диссипации. Дифференциальные уравнения в частных производных преобразованы в обыкновенные дифференциальные уравнения. Для решения полученной системы уравнений использовался метод гомотопического анализа. Проведенное исследование позволяет сделать следующие выводы.

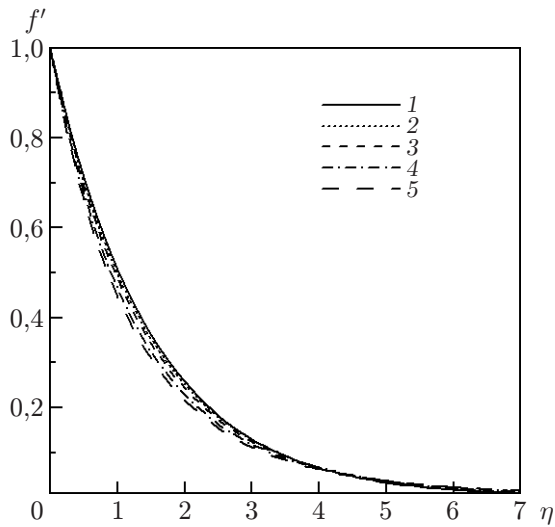


Рис. 2

Рис. 2. Зависимость  $f'(\eta)$  при различных значениях параметра нестационарности  $A$ :

1 —  $A = 0$ , 2 —  $A = 0,2$ , 3 —  $A = 0,5$ , 4 —  $A = 1,0$ , 5 —  $A = 1,5$

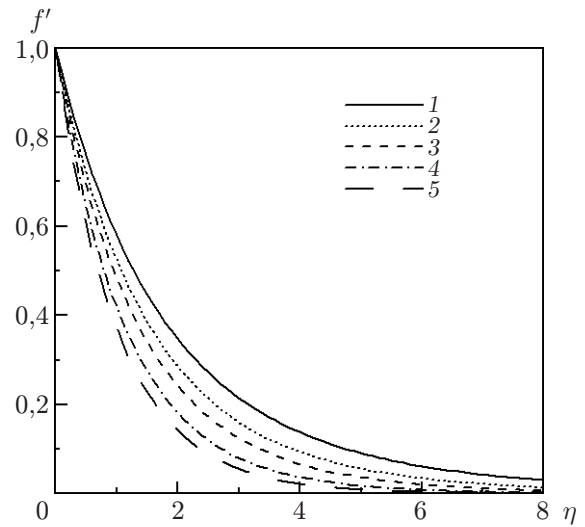


Рис. 3

Рис. 3. Зависимость  $f'(\eta)$  при различных значениях параметра магнитного поля  $M$ :

1 —  $M = 0$ , 2 —  $M = 0,5$ , 3 —  $M = 1,0$ , 4 —  $M = 2,0$ , 5 —  $M = 3,0$

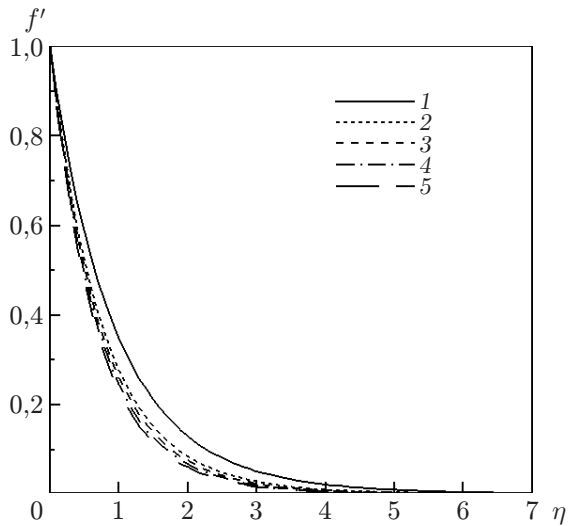


Рис. 4

Рис. 4. Зависимость  $f'(\eta)$  при различных значениях параметра жидкости Кэссона  $\beta$ :

1 —  $\beta = 1$ , 2 —  $\beta = 3$ , 3 —  $\beta = 5$ , 4 —  $\beta = 10$ , 5 —  $\beta = 10^8$

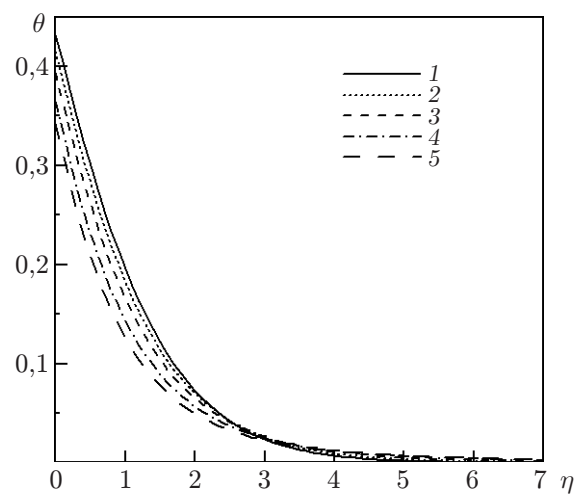


Рис. 5

Рис. 5. Зависимость  $\theta(\eta)$  при различных значениях параметра нестационарности  $A$ :

1 —  $A = 0$ , 2 —  $A = 0,2$ , 3 —  $A = 0,5$ , 4 —  $A = 1,0$ , 5 —  $A = 1,5$

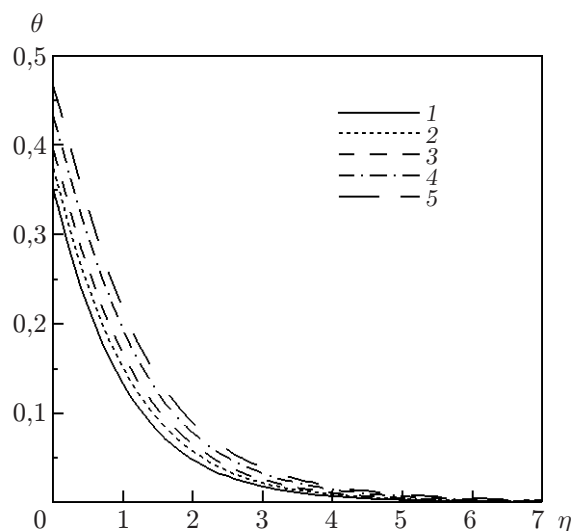


Рис. 6. Зависимость  $\theta(\eta)$  при различных значениях параметра магнитного поля  $M$ :

1 —  $M = 0$ , 2 —  $M = 0,5$ , 3 —  $M = 1,0$ , 4 —  $M = 2,0$ , 5 —  $M = 3,0$

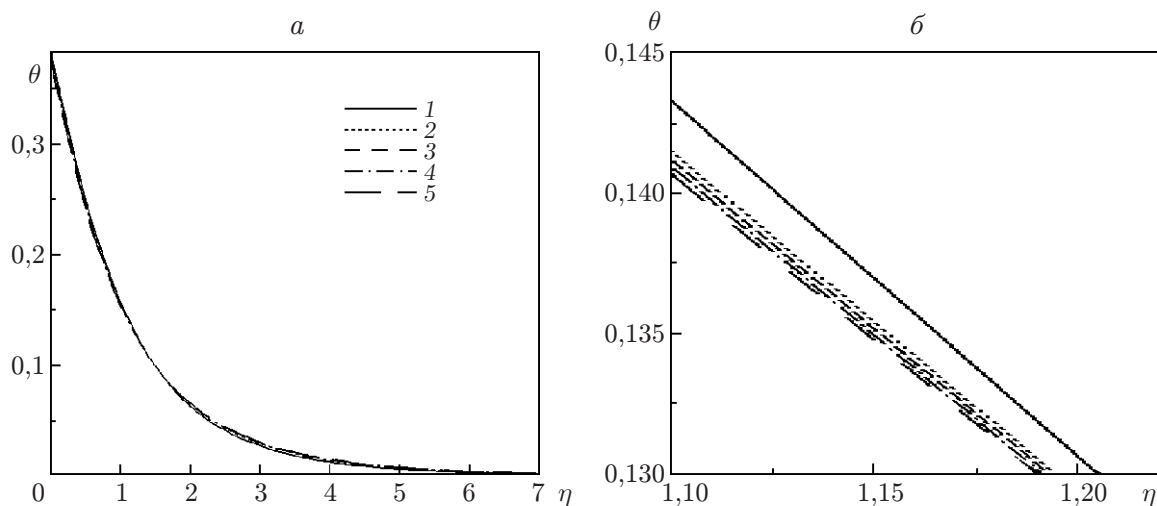


Рис. 7. Зависимость  $\theta(\eta)$  при различных значениях параметра жидкости Кэссона  $\beta$ :

$a$  —  $0 < \eta < 7$ ,  $б$  —  $1,1 < \eta < 1,3$ ; 1 —  $\beta = 1$ , 2 —  $\beta = 3$ , 3 —  $\beta = 5$ , 4 —  $\beta = 10$ , 5 —  $\beta = 10^8$

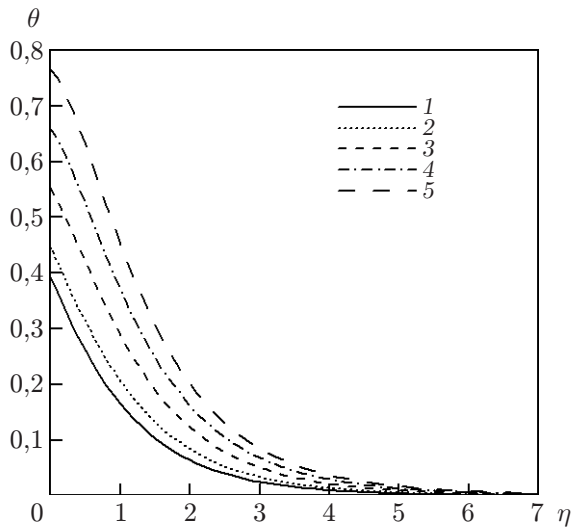


Рис. 8

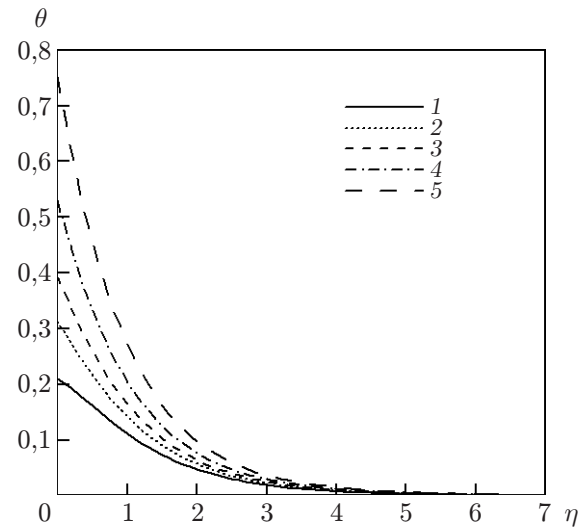


Рис. 9

Рис. 8. Зависимость  $\theta(\eta)$  при различных значениях числа Эккерта  $Ec$ :

1 —  $Ec = 0,2$ , 2 —  $Ec = 0,3$ , 3 —  $Ec = 0,5$ , 4 —  $Ec = 0,7$ , 5 —  $Ec = 0,9$

Рис. 9. Зависимость  $\theta(\eta)$  при различных значениях числа Био  $\gamma$ :

1 —  $\gamma = 0,1$ , 2 —  $\gamma = 0,3$ , 3 —  $\gamma = 0,5$ , 4 —  $\gamma = 1,0$ , 5 —  $\gamma = 3,0$

При увеличении параметра исследуемой жидкости  $\beta$  скорость и температура уменьшаются, при увеличении параметра магнитного поля  $M$  скорость уменьшается, а температура увеличивается.

При увеличении параметра нестационарности  $A$  вблизи пластины скорость и температура уменьшаются, а по мере удаления от нее — увеличиваются.

С увеличением чисел Эккерта  $Ec$  и Био  $\gamma$  температура увеличивается.

С увеличением параметров  $A$  и  $M$  поверхностное трение увеличивается, а с увеличением параметра  $\beta$  — уменьшается.

## ЛИТЕРАТУРА

1. **Crane L. J.** Flow past a stretching sheet // *Z. angew. Math. Phys.* 1970. Bd 21. S. 645–647.
2. **Gupta P. S., Gupta A. S.** Heat and mass transfer on a stretching sheet with suction or blowing // *Canad. J. Chem. Engng.* 1977. V. 55. P. 744–746.
3. **Chakrabarti A., Gupta A. S.** Hydromagnetic flow and heat transfer over a stretching sheet // *Quart. Appl. Math.* 1979. V. 37. P. 73–78.
4. **Grubka L. J., Bobba K. M.** Heat transfer characteristics of a continuous, stretching surface with variable temperature // *J. Heat Transfer.* 1985. V. 107. P. 248–250.
5. **Anjali Devi S. P., Ganga B.** Effects of viscous and Joules dissipation on MHD flow, heat and mass transfer past a stretching porous surface embedded in a porous medium // *Nonlinear Anal., Model. Control.* 2009. V. 14, N 3. P. 303–314.
6. **Vajravelu K., Roper T.** Flow and heat transfer in a second grade fluid over a stretching sheet // *Intern. J. Non-Linear Mech.* 1999. V. 34, N 6. P. 1031–1036.
7. **Abel S., Veena P. H., Rajgopal K., et al.** Non-Newtonian magnetohydrodynamic flow over a stretching surface with heat and mass transfer // *Intern. J. Non-Linear Mech.* 2004. V. 39. P. 1067–1078.



8. **Chung Liu I.** Flow and heat transfer of an electrically conducting fluid of second grade in a porous medium over a stretching sheet subject to a transverse magnetic field // Intern. J. Non-Linear Mech. 2005. V. 40. P. 465–474.
9. **Bhargava R., Takhar H. S., Kawat S.** Finite element solutions for non-Newtonian pulsatile flow in a non Darcian porous medium conduit // Nonlinear Anal. 2007. V. 12, N 3. P. 317–327.
10. **Parasad K. V., Vajravelu K.** Heat transfer in the MHD flow of a power law fluid over a non-isothermal stretching sheet // Intern. J. Heat Mass Transfer. 2009. V. 52. P. 4956–4965.
11. **Mahmoud M. A. A., Megahed A. M.** MHD flow and heat transfer in a non-Newtonian liquid film over an unsteady sheet with variable fluid properties // Canad. J. Phys. 2009. V. 87, N 10. P. 1065–1071.
12. **Tabaei H., Moghimi M. A., Kimiaefar A., Moghimi M. A.** Homotopy analysis and differential quadrature solution of the problem of free-convective magnetohydrodynamic flow over a stretching sheet with the Hall effect and mass transfer taken into account // J. Appl. Mech. Tech. Phys. 2011. V. 52, N 4. P. 624–636.
13. **Hussnain S., Mehmood A., Ali A.** Three-dimensional channel flow of second grade fluid in rotating frame // Appl. Math. Mech. (English Ed.) 2012. V. 33, N 3. P. 289–302.
14. **Khan M., Shahzad A.** On axisymmetric flow of Sisko fluid over a radially stretching sheet // Intern. J. Non-Linear Mech. 2012. V. 47. P. 999–1007.
15. **Khader M. M., Megahed A. M.** Numerical studies for flow and heat transfer of the Powell — Eyring fluid thin film over an unsteady stretching sheet with internal heat generation using the Chebyshev finite difference method // J. Appl. Mech. Tech. Phys. 2013. V. 54, N 3. P. 440–450.
16. **Butt A. S., Munawar S., Ali A., Mehmood A.** Effect of viscoelasticity on entropy generation in a porous medium over a stretching plate // World Appl. Sci. J. 2012. V. 17, N 4. P. 516–523.
17. **Khan M., Shahzad A.** On boundary layer flow of a Sisko fluid over a stretching sheet // Quaest. Math. 2012. V. 36, N 1. P. 137–151.
18. **Qasim M., Khan I., Shafie S.** Heat transfer in a micropolar fluid over a stretching sheet with Newtonian heating // PLoS One. 2013. V. 8, N 4. e59393.
19. **Mukhopadhyay S., Ranjan De P., Layek G. C.** Heat transfer characteristics for the Maxwell fluid flow past an unsteady stretching permeable surface embedded in a porous medium with thermal radiation // J. Appl. Mech. Tech. Phys. 2013. V. 54, N 3. P. 385–396.
20. **Nakamura M., Sawada T.** Numerical study on the flow of a non-Newtonian fluid through an axisymmetric stenosis // Trans. ASME. J. Biomech. Engng. 1988. V. 110, N 2. P. 137–143.

*Поступила в редакцию 7/IV 2014 г.,  
в окончательном варианте — 10/X 2014 г.*

---